



5287-  
2017

(ISO 5287:2003,  
**Belt drives — Narrow V-belts for the automotive industry — Fatigue test,**  
**IDT)**



2017

1                    «  
-                    » (        «        »)  
4  
2                    160 «  
»  
3                    28        2017 . No 188-  
4                    5287:2003 «  
»  
(ISO 5287:2003 «Belt drives — Narrow V-belts for the automotive industry — Fatigue test», IDT).

1.5—2012 (        3.5).

5  
29        2015 .     162- «  
            «                    26  
            «                    ».  
—                    (        )                    1  
            ».  
—                    ,                    ».  
—                    «  
(www.gost.ru)

1	.....	1
2	.....	1
3	.....	1
4	.....	2
5	.....	5
6	.....	5
7	.....	6
(	)	.....
		7

Федеральное агентство  
по техническому регулированию  
и метрологии

Федеральное агентство  
по техническому регулированию  
и метрологии

Федеральное агентство  
по техническому регулированию  
и метрологии

Onve V-Delia of narrow cross-sections for the automobiles. Fatigue test

— 2018—01—01

**1**

{ AV10hAV13),

— 2790.

**2**

8

0:

ISO 683-1. Heat-treatable steels, alloy steels and free-cutting steels — Part 1: Direct-hardening unalloyed and low-alloyed wrought steel in form of different black products (

1.

)<sup>2</sup>

ISO 2790. Belt drives — V-belts for the automotive industry and corresponding pulleys — Dimensions

(

)

ISO 4287. Geometrical product specifications (GPS)—Surface texture: Profile method — Terms, definitions and surface texture parameters (

(GPS).

)

ISO 6508-1. Metallic materials — Rockwell hardness test — Part 1: Test method (scales C, D, E, F, G, H, K, N, T) [

1.

( . . . D. . F. G. . . N. ) >

**3**

4.1.

◦

<sup>3></sup>

683-1:2016 «

1.

(ISO 683-1:2016 «Heat-treatable steels, alloy steels and free-cutting steels —

Part 1: Non-alloy steels for quenching and tempering»).

>

6608-1:201 S «

1.

\* (ISO 6608-1:201S «Metallic materials — Rockwell hardness test — Part 1: Test method»).

800  
4

70 %

**4**

4.1

4.1.1

4.1.2

4.1.3

4.1.4

a)

b)

4.1.5

( . . . 1);  
( . . . 2).  
 $\pm 1\%$ .

1 2.

( . . . 1).

( 800 ( . . . 2).

4.2

6508-1

683-1

55 HRC

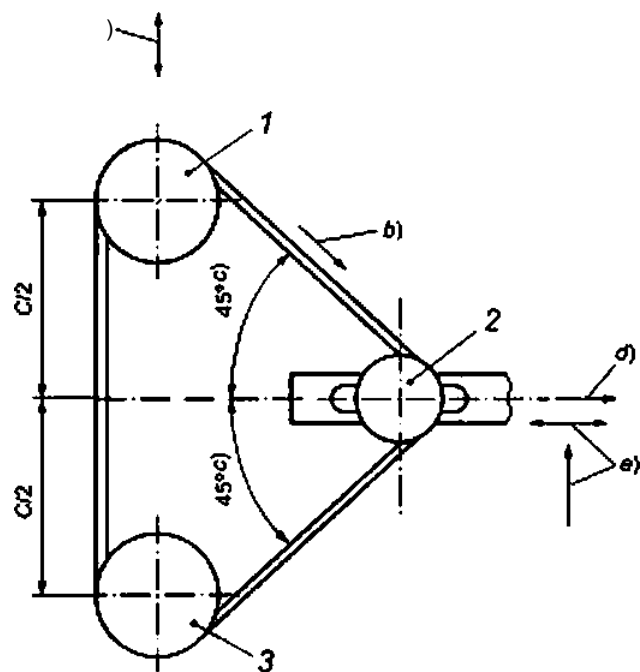
Ra

4287,

0.8

3

1.



41

6&gt;

)

45\*

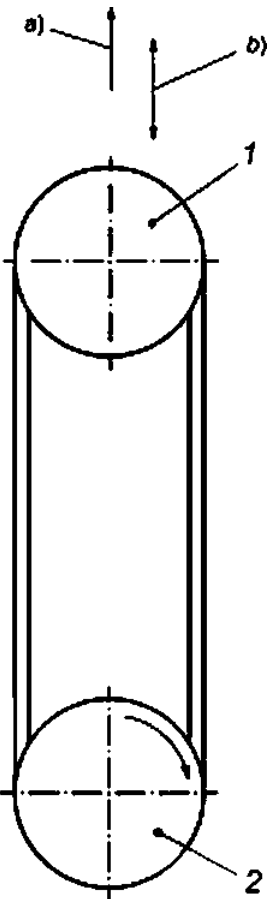
ff&gt;

^

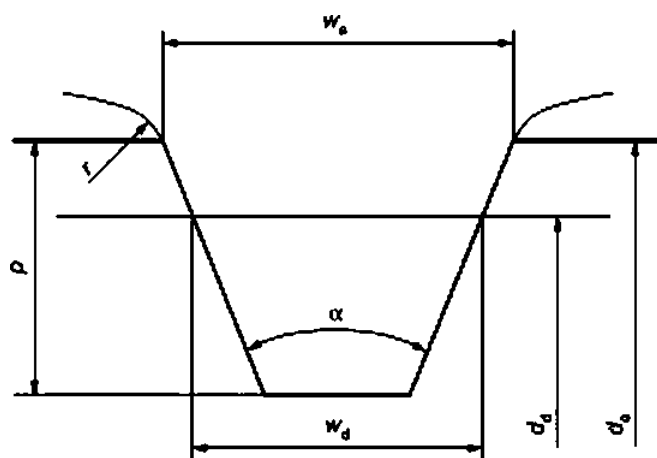
— : 1 — ( );  
 ? — — ; 3 — ,

\*15'

1 —



> ,  
 > ( ).  
 /— ( ). 2—  
 — ,  
 2—  
 :15°



1 —

		AV to	AV 13
	$d_i - d_j \sim 2Y$	3.69	5.23
	$w_a$	8.S	11.0
( )	$d_{\text{,,}}$	121.0x0.2	127.0 X 0.2
( )		63.0 1 0.2	76.0 ± 0.2
* ( - )	$d,$	57.0- 63.0 - 76.01 x 0.2	70.0-76.0-69.0 ± x 0.2
	$w.$	9.7	12.7
	$a$	36°00'X 0°30'	36°00'X 0°30'
,	$p$	11.00	13.75
,	$r$	0.8	0.8

\*!

**5**

18 °

32 ° .

8

**6**

6.1

1 2.

±2

\*

$$2.414 = -0.785(3d_{at} * - (d_{\text{,,}} - d_{\text{,2}})). \quad , 1)$$

2790:

$$\frac{tf_{e1}}{d_{ai}} = \frac{4900}{4700} \quad ; \quad AV \quad 10$$

4700 -1 — AV

±2%.

F,

-

(2)

$$F = KP,$$

$$\frac{60}{110} / \frac{8}{8} \quad ; \quad S$$

6.2

6.2.1

6.2.1.1

( . . 6.1)

$$\frac{5}{10} \pm 15$$

6.2.1.2

6.2.1.1

6.2.2

4 %.

$$\Delta = (i_o - i_r) 100.$$

&lt;3&gt;

$$rflei_0 = \frac{n_o}{N_o};$$

&lt;4&gt;

$$i_r = \frac{n_r}{N_r}$$

(5)

$$\begin{matrix} 0 \\ /_0 \\ , \\ N \end{matrix} \quad ; \quad ; \quad ; \quad ;$$

6.2.3

4 %

20

6.2.1,

6.2.2.

4 %

7

a)

;

b)

;

c)

;

d)

;

e)

;

f)

;

)

;

h)

;

i)

( )

.1

		,
ISO 683*1	NEO	4543— 71 « »
ISO 2790		2790—2013 « »
ISO 4287		4287—2014 « (GPS). »
ISO 6808*1	NEO	9013— 59 ( 8508—86) « »
<hr/> <ul style="list-style-type: none"><li>• IDT —</li><li>• NEQ —</li></ul>		

5287—2017

678-419:621.85.052.42:620.178.322.3:006.354

21.220.10

:

,

,

,

0.

.

.

29.03.2017.

24.04.2017.

60 > 64

. 1,40. - . 1,26. 27 . 627

« » . 123995 ,  
www.goeboio.ru mfo@90sbnfo.ru

.. 4.